

ЕДИНЫЙ МЕХАНИЗМ ЭНЕРГОМАССОПЕРЕНОСА

**(НА ОСНОВЕ ГЕОСОЛИТОННОЙ КОНЦЕПЦИИ И ДАННЫХ ДИСТАНЦИОННОГО
ЗОНДИРОВАНИЯ)**

Бембель Р.М., Бембель С.Р., В.В. Кравцов

***Тюменский государственный нефтегазовый
университет, г. Тюмень; РУДН, г. Москва***

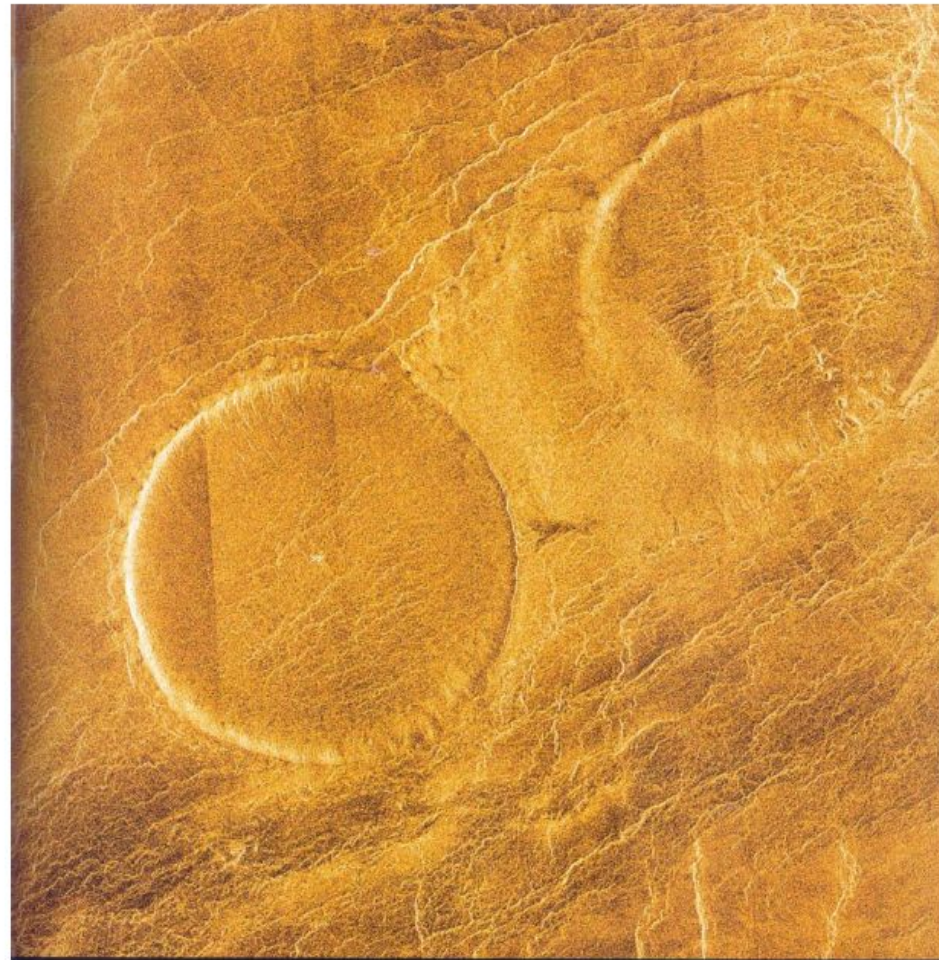
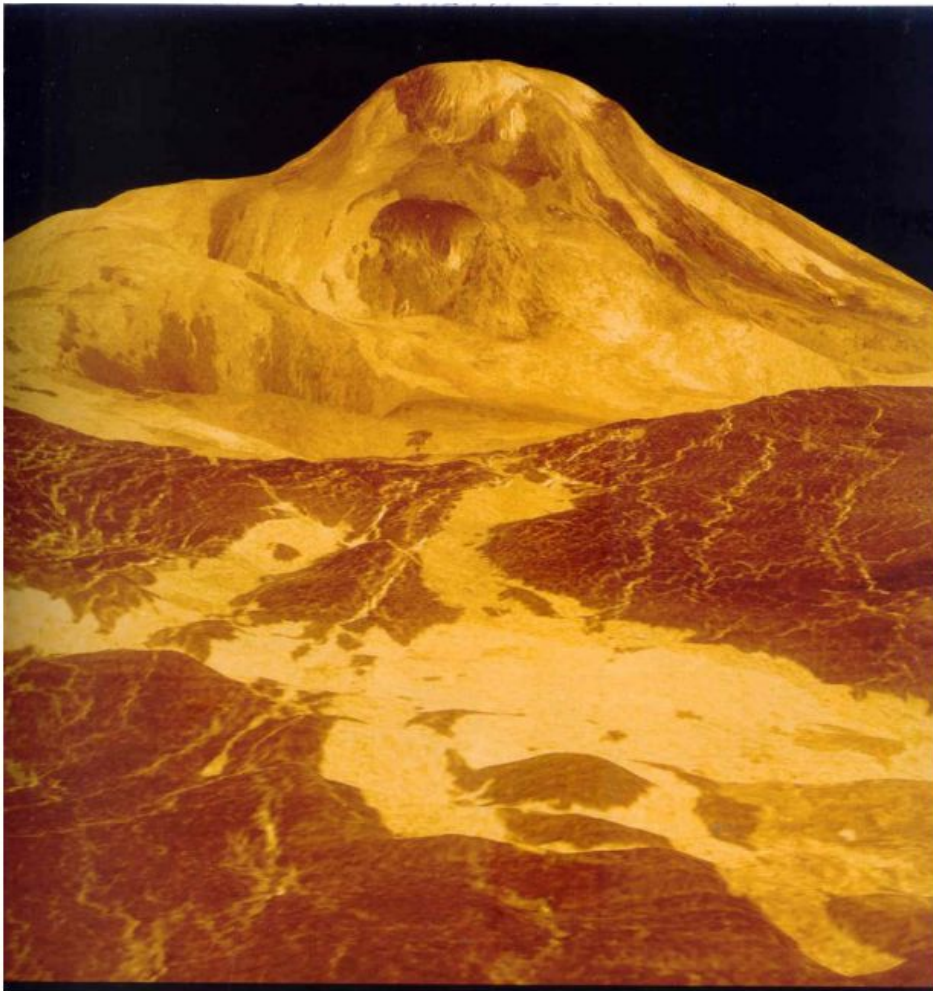
Вершина Олимпа - самого высокого вулкана на Марсе.

вид сверху на вулкан ОлимпГора. Олимп возвышается на 27 км над средним уровнем планеты и считается самым крупным вулканом в Солнечной системе, превышающим земные Гималаи и Анды почти в 3 раза.

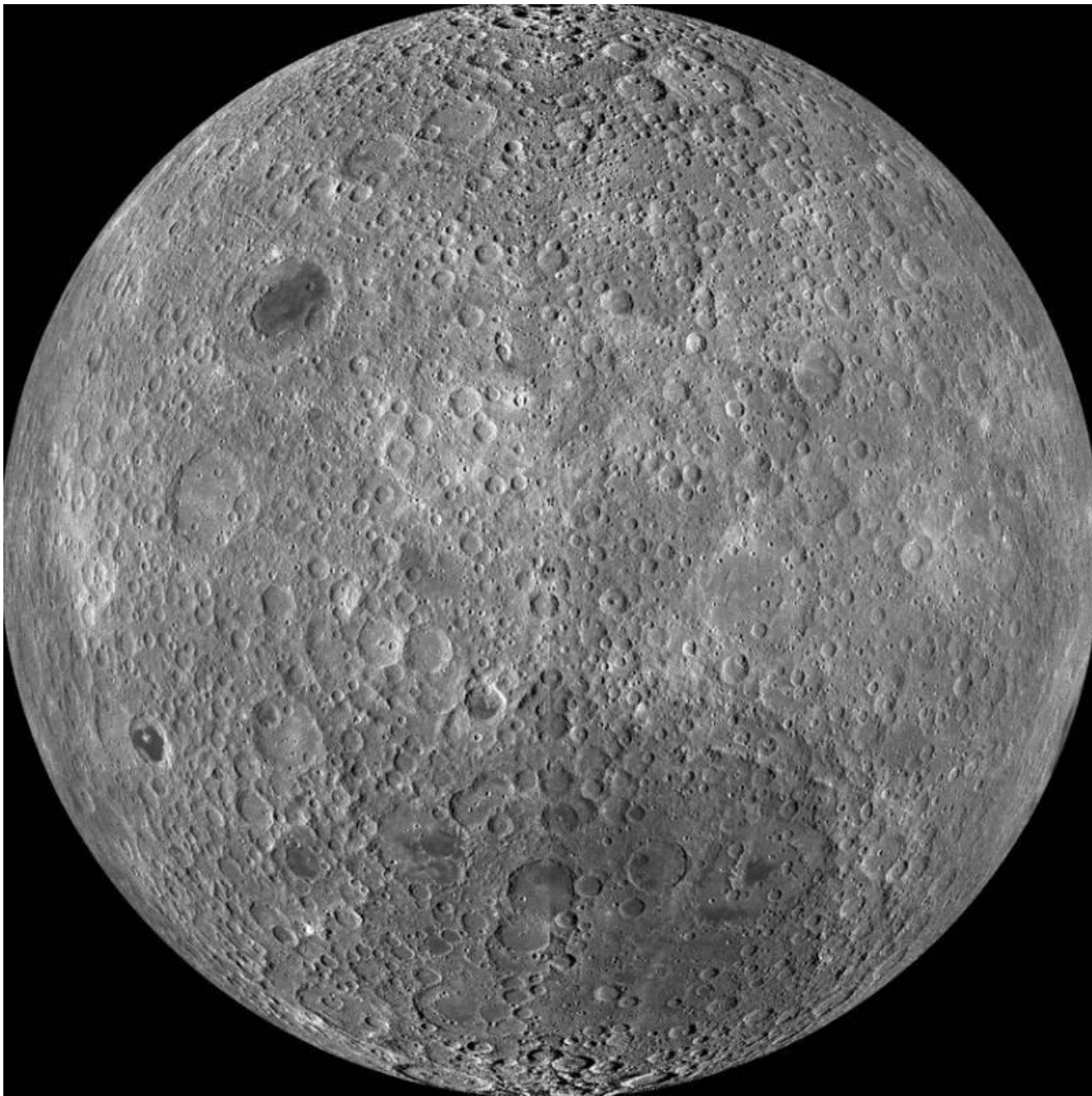
Кальдера вулкана Олимп, в которой можно выделить не менее пяти меньших по размерам кальдер, каждая из которых соответствует своему извержению этого вулкана в разные времена. Глубина общей кальдеры достигает 3 км.



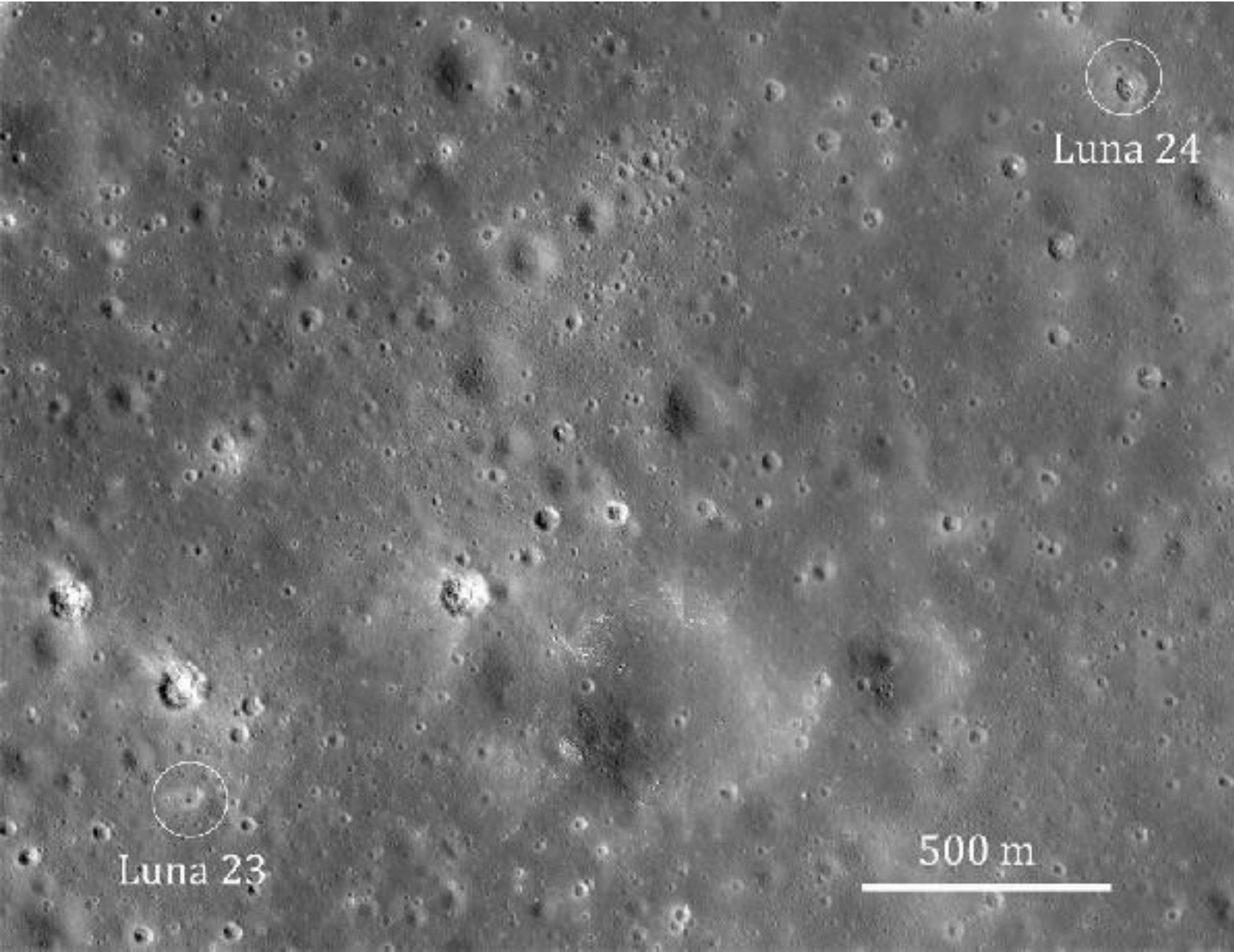
**Венера. Вулканические гора Маат (слева)
и купола-«лепешки» (справа)**

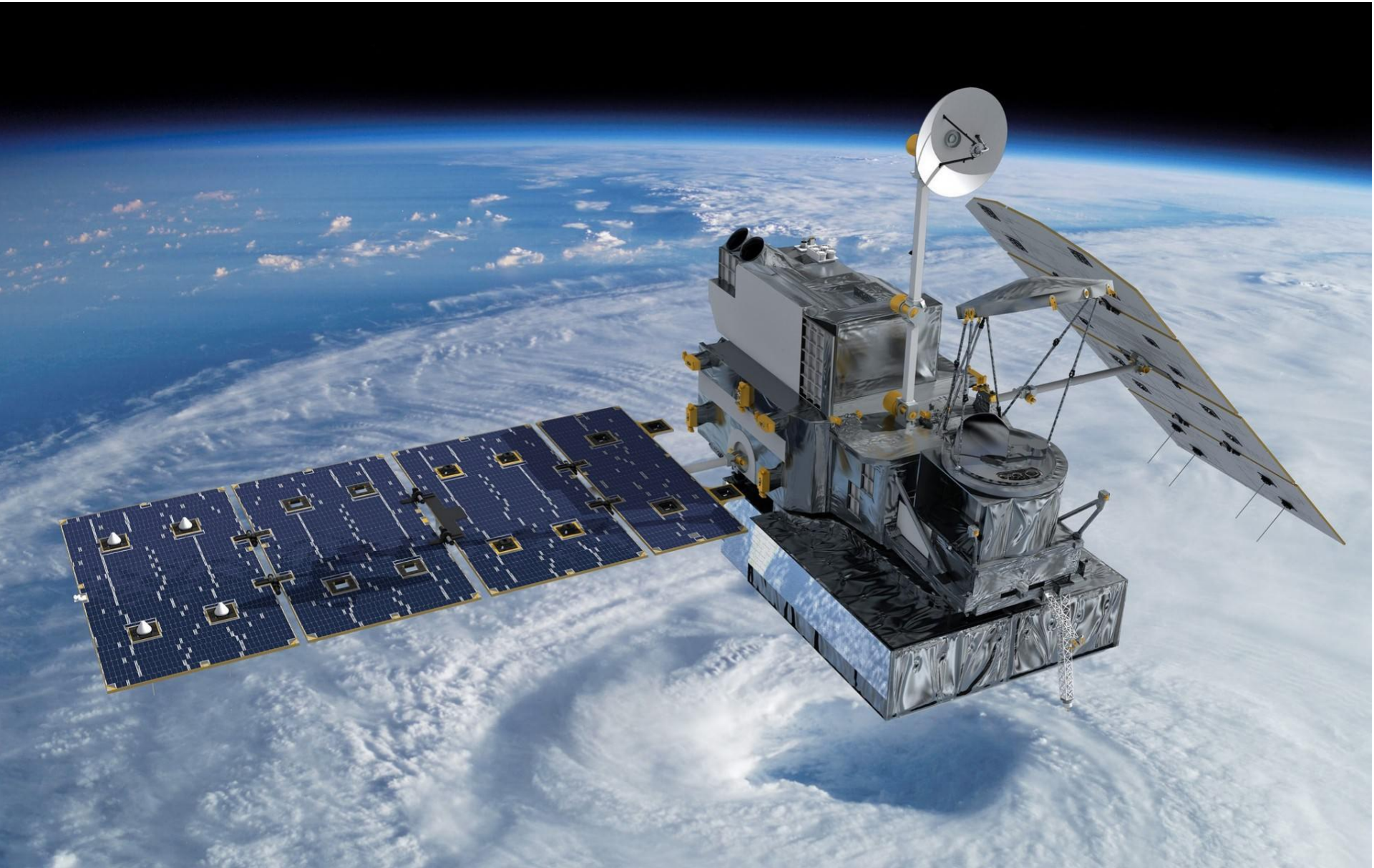


Обратная сторона Луны в высоком разрешении



Детальный снимок поверхности Луны в районе посадки советских КА Луна-23 и Луна-24







**Геосолитонное
торнадо в
атмосфере над
озером в районе
Сургута**



Кучево-дождевые облака над Африкой



Коралловые рифы - полуострова Юкатан (атолл Лайтхауз-Риф)



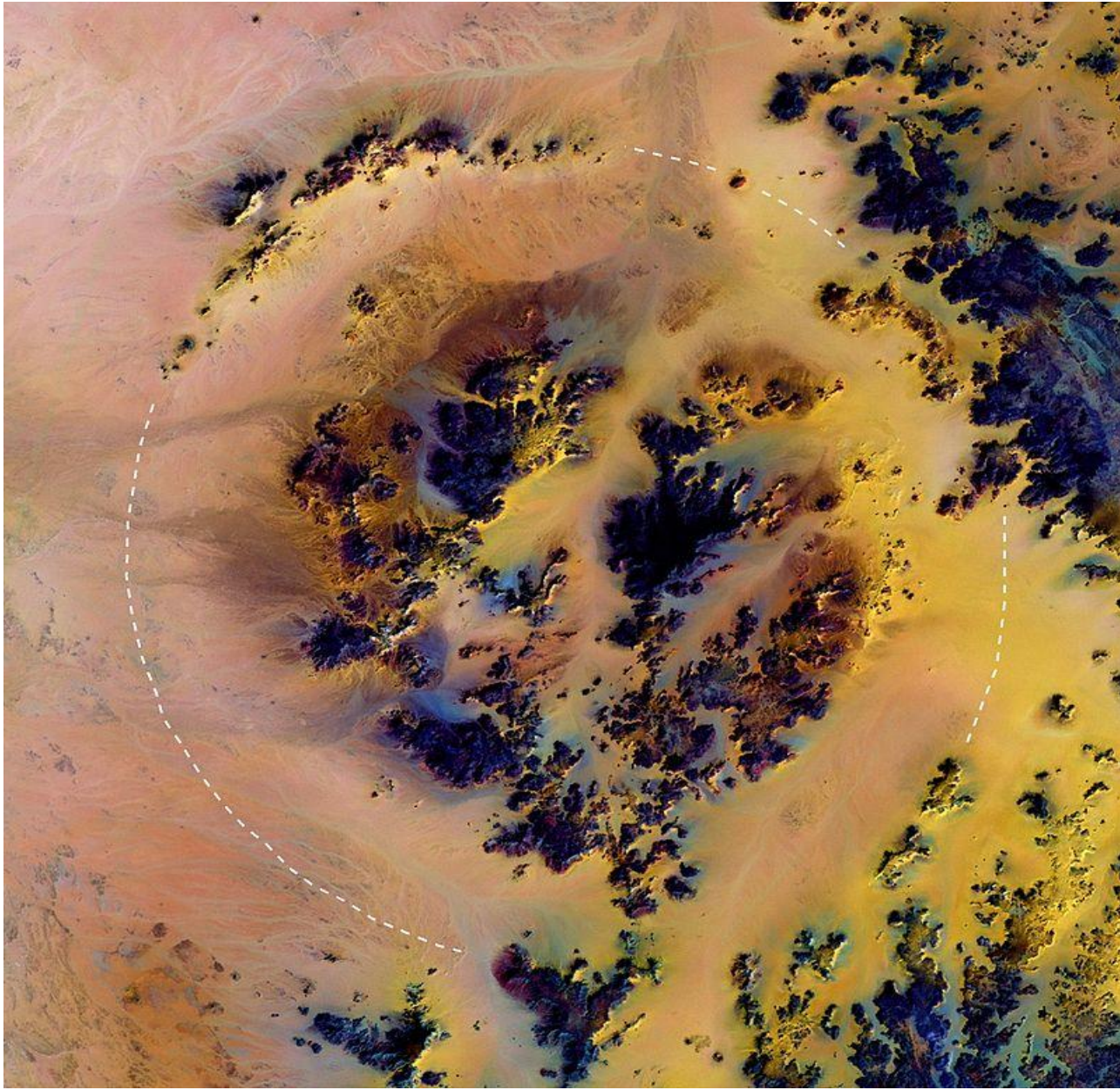
Извержение вулкана Сарычева (Курильские острова)



Геологическая структура Ришат, или «Око Сахары» (D=50км)



Кратер Кебира в Ливии (D=31 км)



Месторождение платиноидов КОНДЕР (Алданский щит, Сибирская платформа)

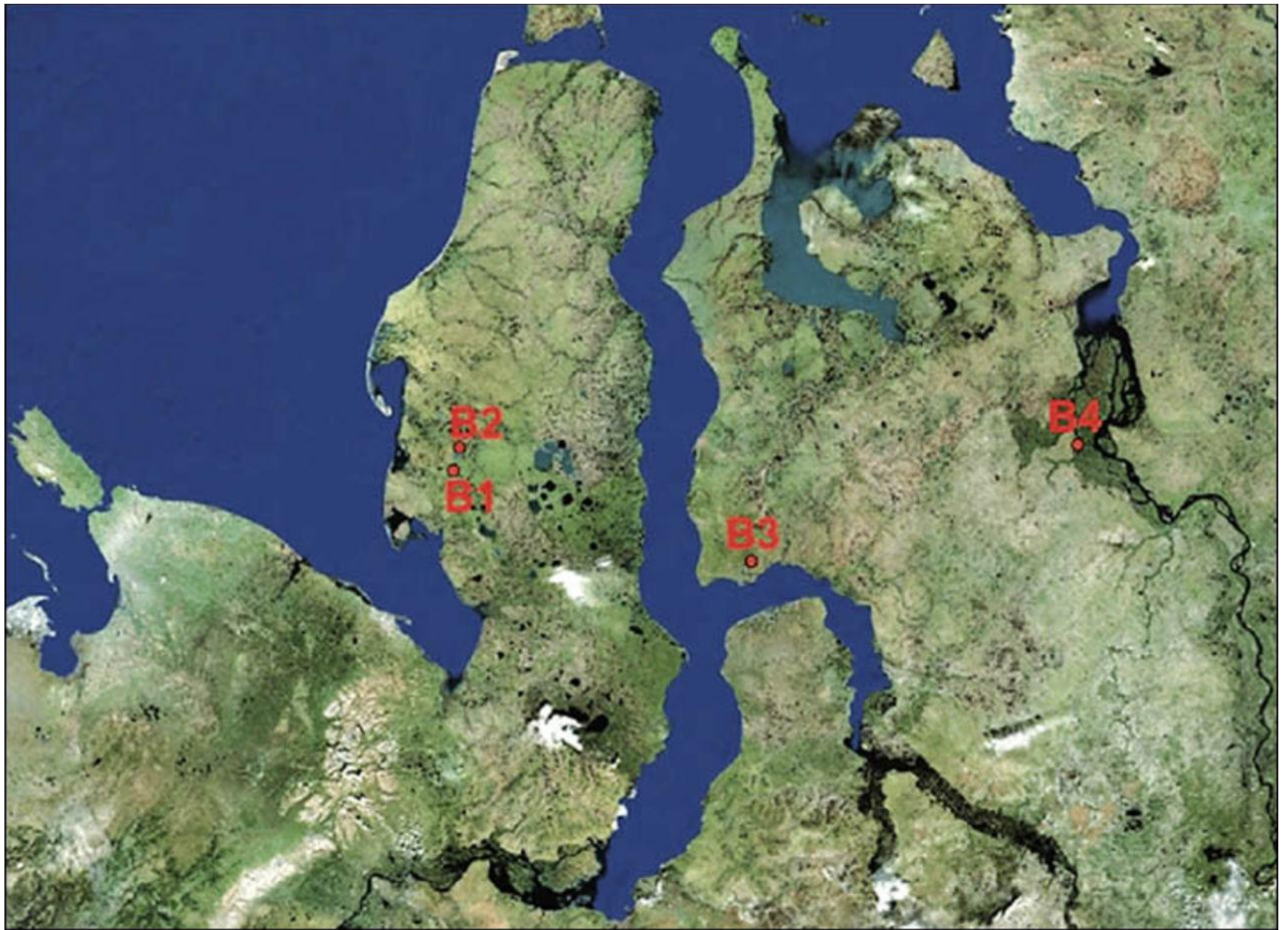


Кимберлитовая трубка «МИР» (алмазы Якутии)



ЯМАЛЬСКИЙ КРАТЕР





Провал земной поверхности в одном из городов Гватемалы



Космический снимок оз. БАЙКАЛ. Следы разрушения ледового покрова в результате геосолитонной дегазации недр.



Воронки проседания и заболачивания земной поверхности (по данным В.Н.Ларина, 2005)

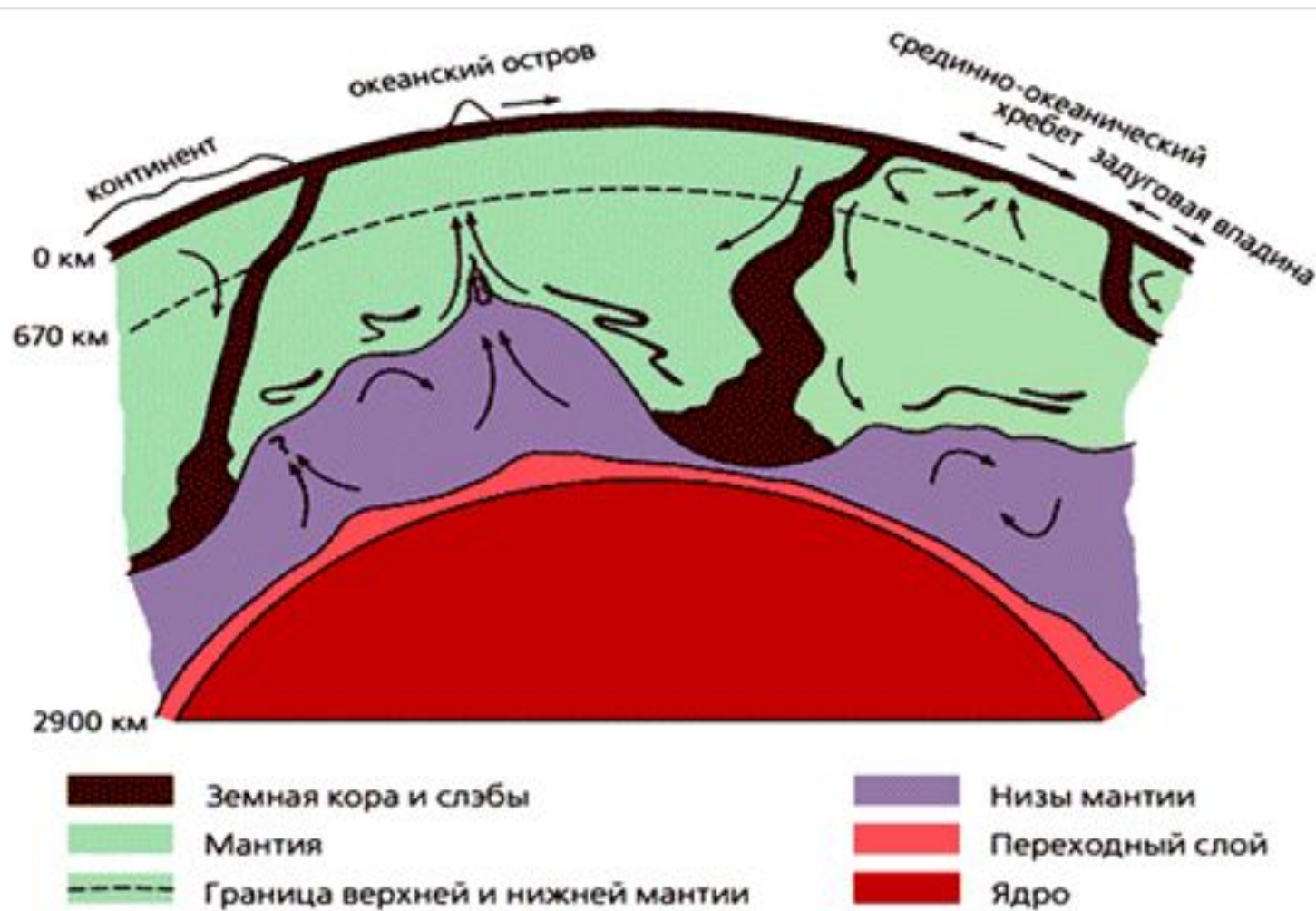


Геосолитоны – это импульсно-вихревые процессы энергомассопереноса, формирующие большинство месторождений полезных ископаемых и очаги природных катастроф.

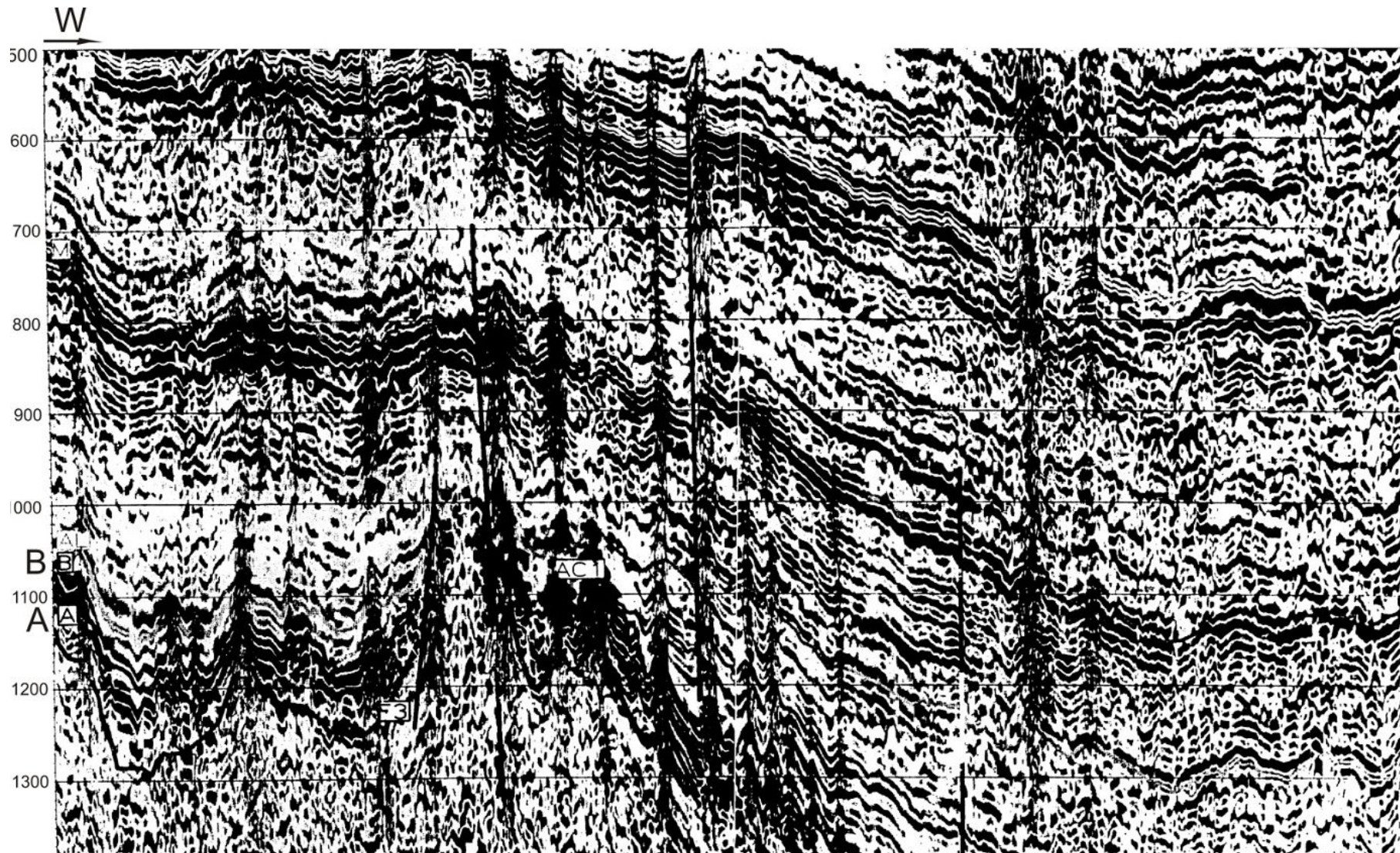
Геосолитонная дегазация является одним из механизмов роста массы и размеров расширяющейся Земли в эфир-геосолитонной концепции эволюции планет и звезд во Вселенной.

Отличительной особенностью месторождений УВ в ГК является их чрезвычайная локальность, контролируемая местоположением узких СГТ, и большой глубинный интервал разреза, обусловленный мантийными очагами генерации геосолитонов.

Схема возможной динамики переходного слоя в нижней мантии. Глубина кровли слоя изменяется от ~1600 км почти до границы мантиядро, куда она смещается под действием погружающихся слэбов. Стрелками показано движение вещества. Циркуляция в слое происходит из-за внутреннего разогрева (Kellogg L.H. et al.1999)



Временной сеймотектонический разрез в районе сочленения Урала и Западной Сибири.
Четко прослеживаются неотектонические геосолитонные трубки, проникающие от фундамента через юрские, меловые и третичные отложения до дневной поверхности.



Пожар на высокодебитной скважине в Мексиканском заливе



Космический снимок места аварии в Мексиканском заливе

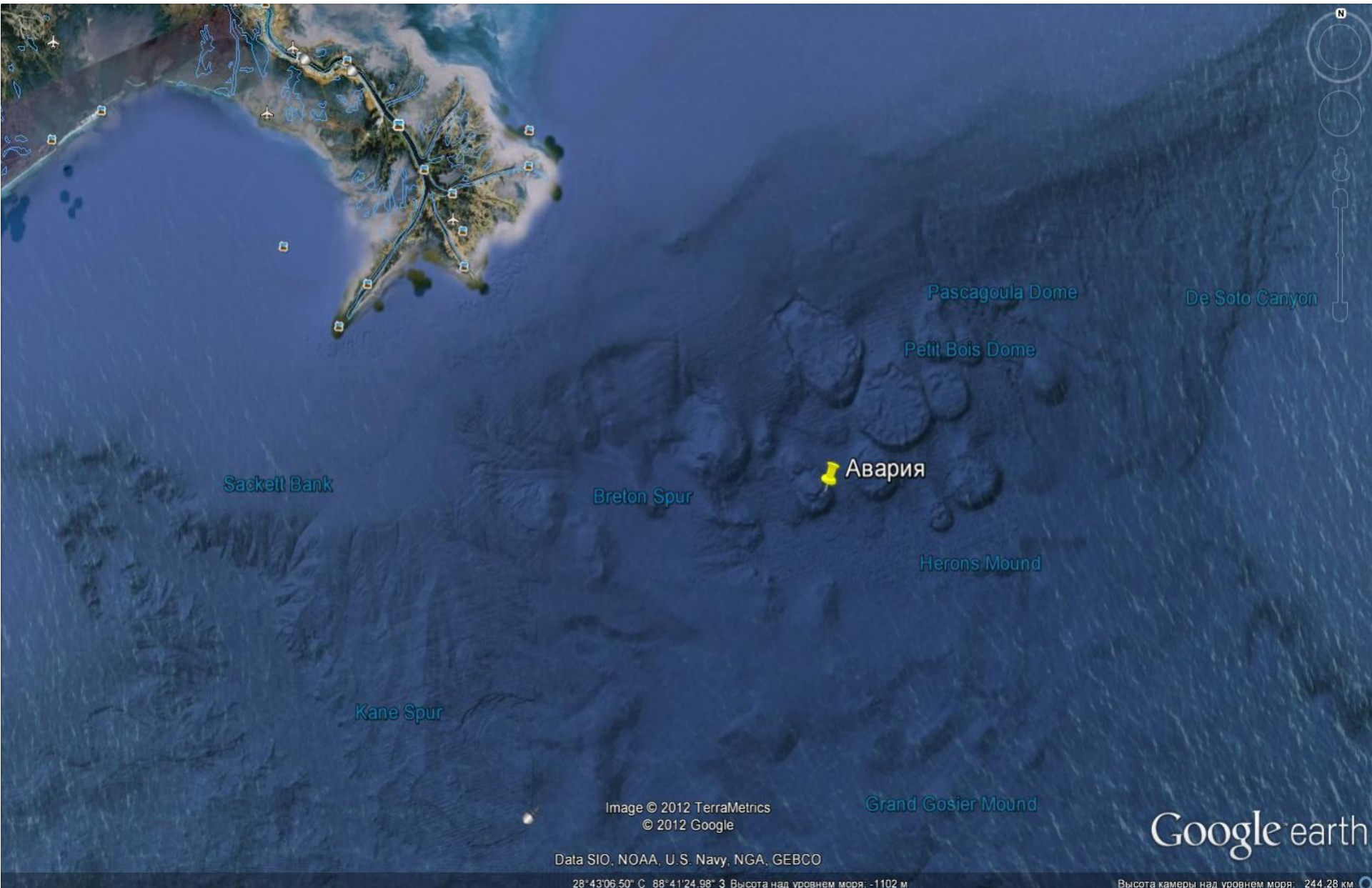


Image © 2012 TerraMetrics
© 2012 Google

Data SIO, NOAA, U.S. Navy, NGA, GEBCO

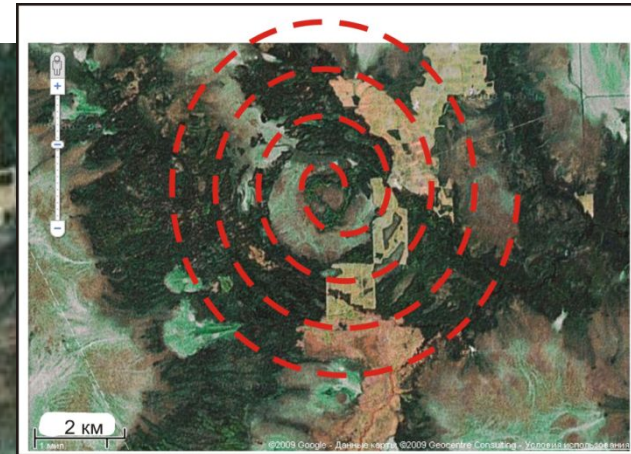
28°43'06.50" С. 88°41'24.98" З. Высота над уровнем моря: -1102 м

Grand Gosier Mound

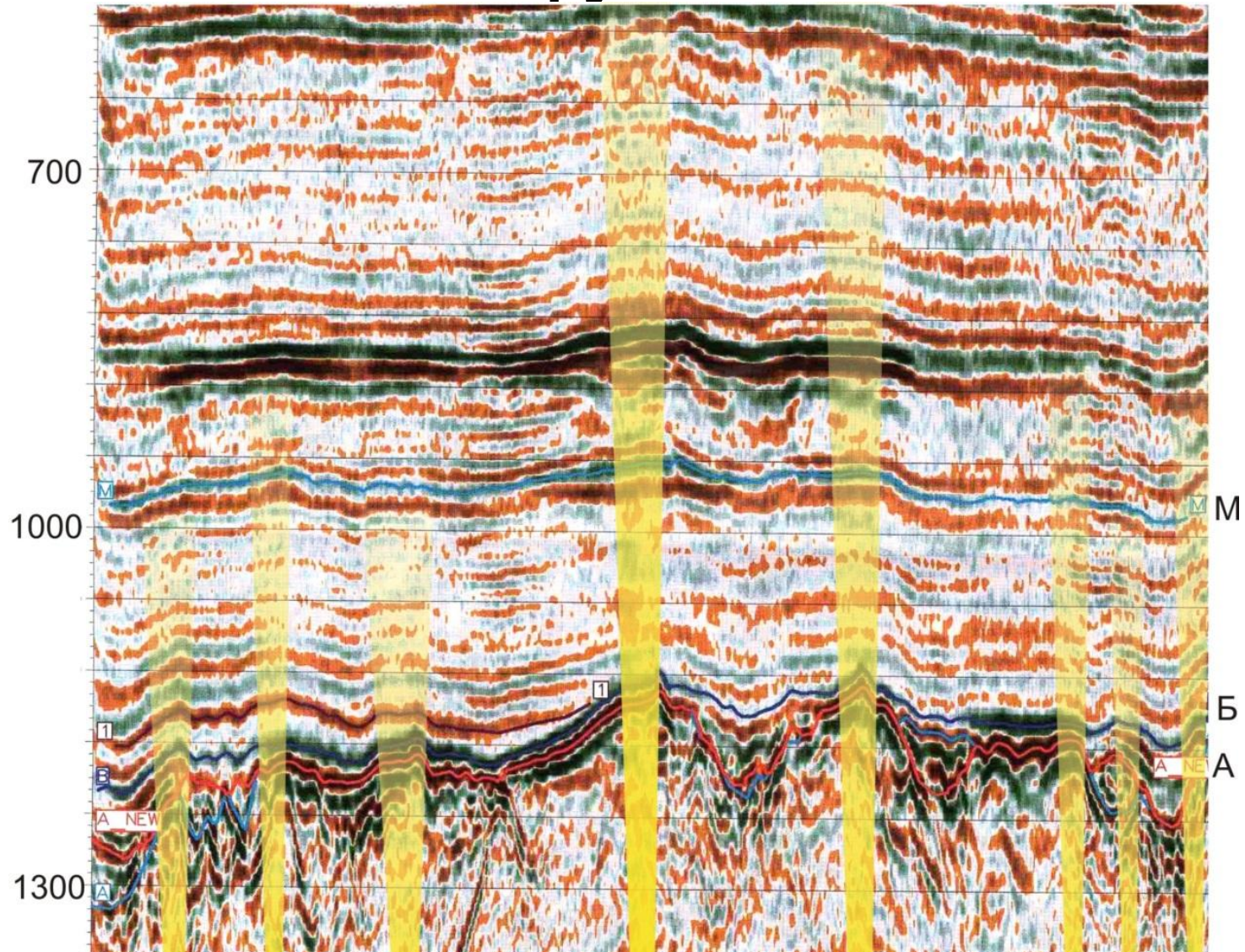
Google earth

Высота камеры над уровнем моря: 244.28 км

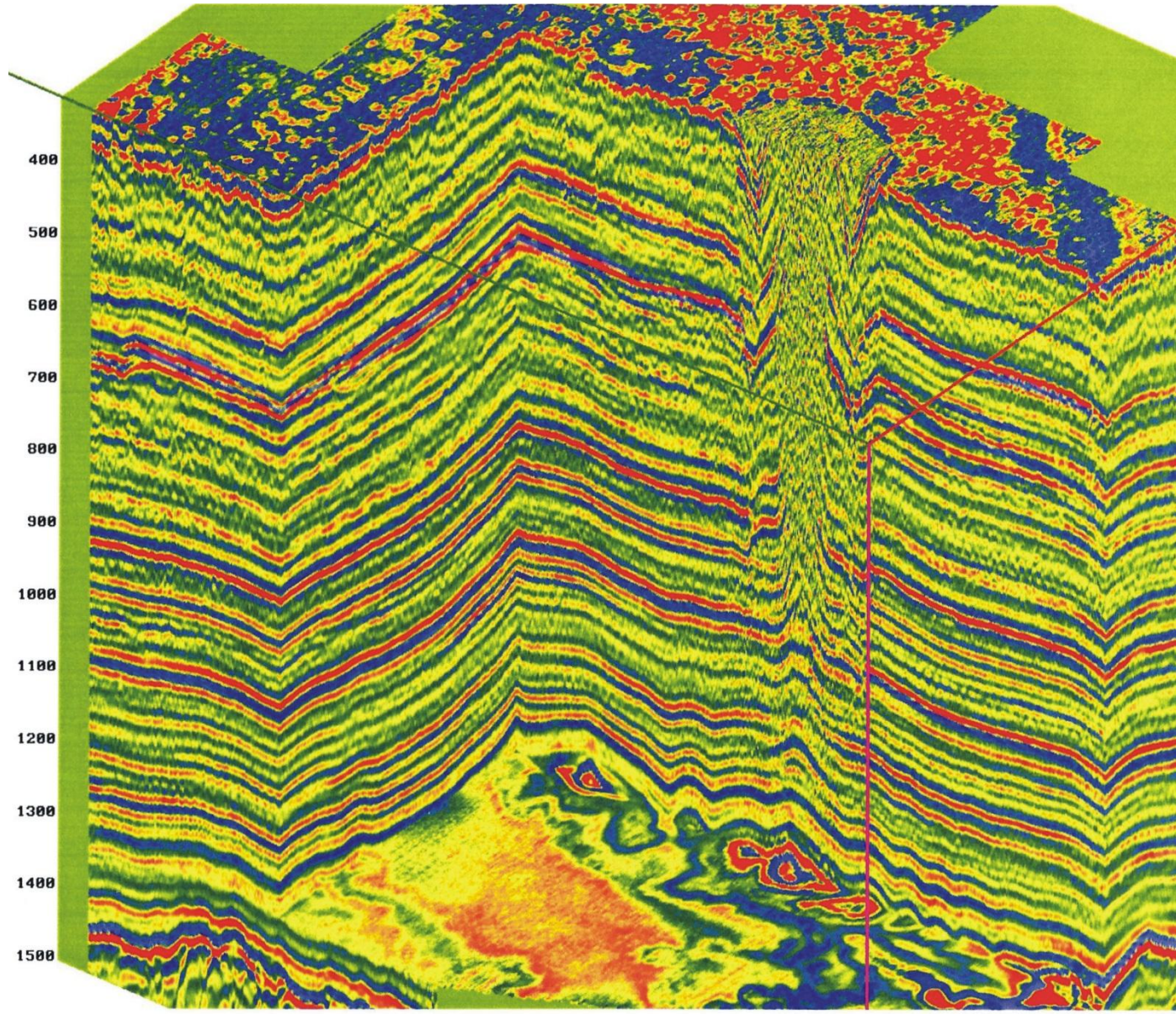
Приуральская НГО. Пулътинская трубка (снимок из космоса).



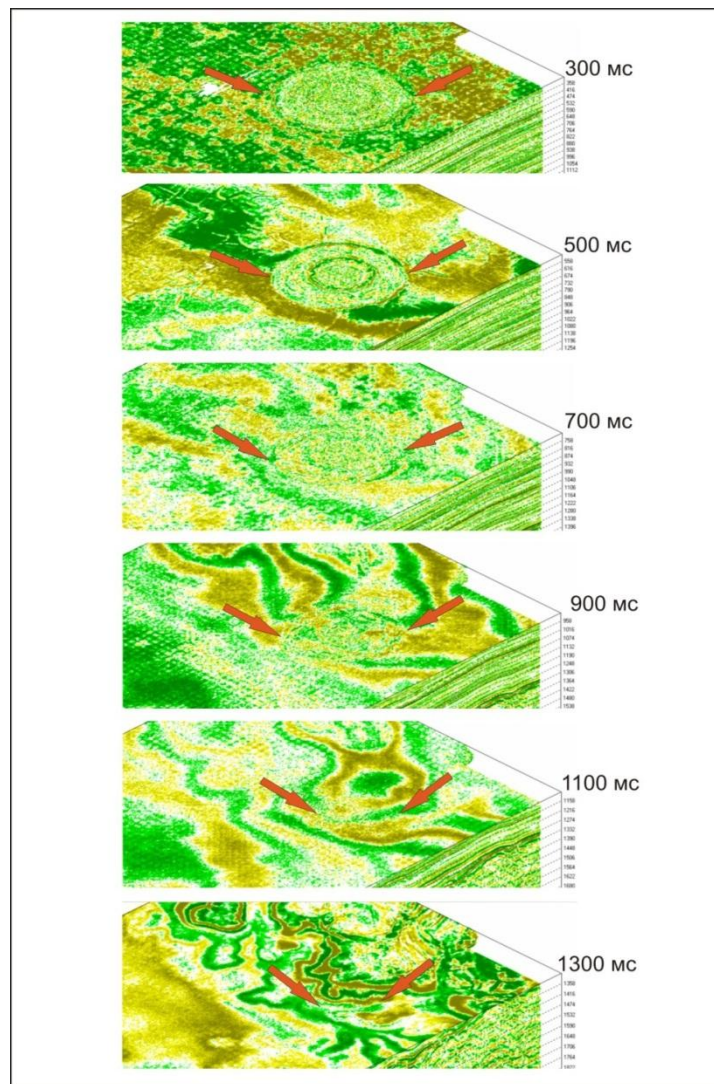
Временной разрез в районе Пультынской трубки



Композиция вертикального и горизонтального срезов волнового поля в районе Пултынской трубки.



Та же структура на временных срезах куба 3D. В горизонтальном сечении волнового поля четко видны правильные concentric окружности элементов волнового поля, обусловленные вихревой структурой геосолитонного процесса. По всем геофизическим методам (3D-сейсморазведка, гравиразведка, магниторазведка, тепловые методы) установлена ярко выраженная аномалия кольцевой формы.

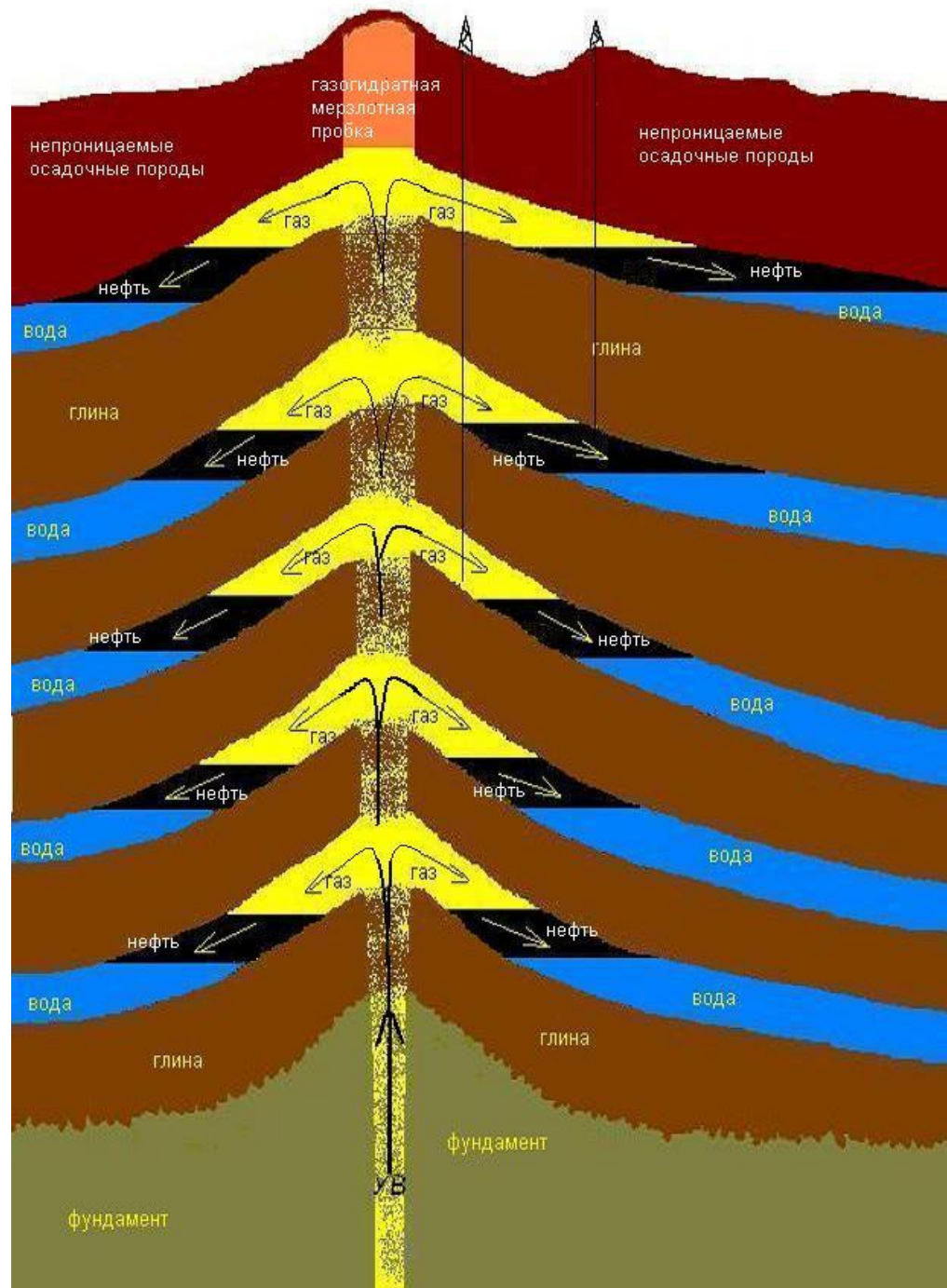


Коэффициент концентрации углеводов и микроэлементов в осевой части Пулытгинской геосолитонной трубки

ВЕЩЕСТВО	Коэффициент концентрации относительно фона	ВЕЩЕСТВО	Коэффициент концентрации относительно фона	ВЕЩЕСТВО	Коэффициент концентрации относительно фона
Газообразные и парообразные УВ					
гелий	38,5	Пропан	9,99	Пентен-2-транс	15,02
водород	44,02	Пропил	7,27	2-метил-пентан	12,72
Углекислый газ	7,4	Н-бутан	9,55	Н-гексан	17,47
Кислород	1,16	3-метил-бутен-1	15,92	Гептан-1	15,47
Метан	69,05	2-метил-бутан	9,54	Н-гептан	27,01
Этан	10,23	2-метил-бутен-1	12,15	Н-октан	12,03
Этен	9,01	Н-пентан	18,00		
Высокомолекулярные УВ					
Декан	3,69	пристан	5,79	эйкозан	37,00
Ундекан	5,37	октадекан	7,41	неоэйкозан	14,44
Адамантан	4,36	фитан	5,57	доказан	10,69
тетрадекан	3,87	антрацен	14,91	трикозан	40,06
Гептадекан	3,63	нонадекан	7,27	тетракозан	15,32
Тридекан	3,31				
Ароматические УВ					
Бензол	2,8	Этилбензол	5,4	Метаксилол	4,5
толуол	8,2	Параксилол	4,6	Изопропил-бензол	6,7
Микроэлементы					
Медь	1,54	молибден	2,70	литий	2,60
Цинк	1,67	серебро	2,15	ниобий	1,63
Свинец	1,72	марганец	4,15	иттербий	2,50
Никель	3,30	олово	1,74	цирконий	2,61
Кобальт	3,66	висмут	2,00	фосфор	2,72
хром	1,46	барий	2,97	иттрий	3,42
ванадий	1,92	титан	1,29	германий	2,0
галлий	1,71	ртуть	3,52		



**Геосолитонная
модель
образования
многопластовых
высокодебитных
восстанавливаем
ых залежей нефти
и газа**

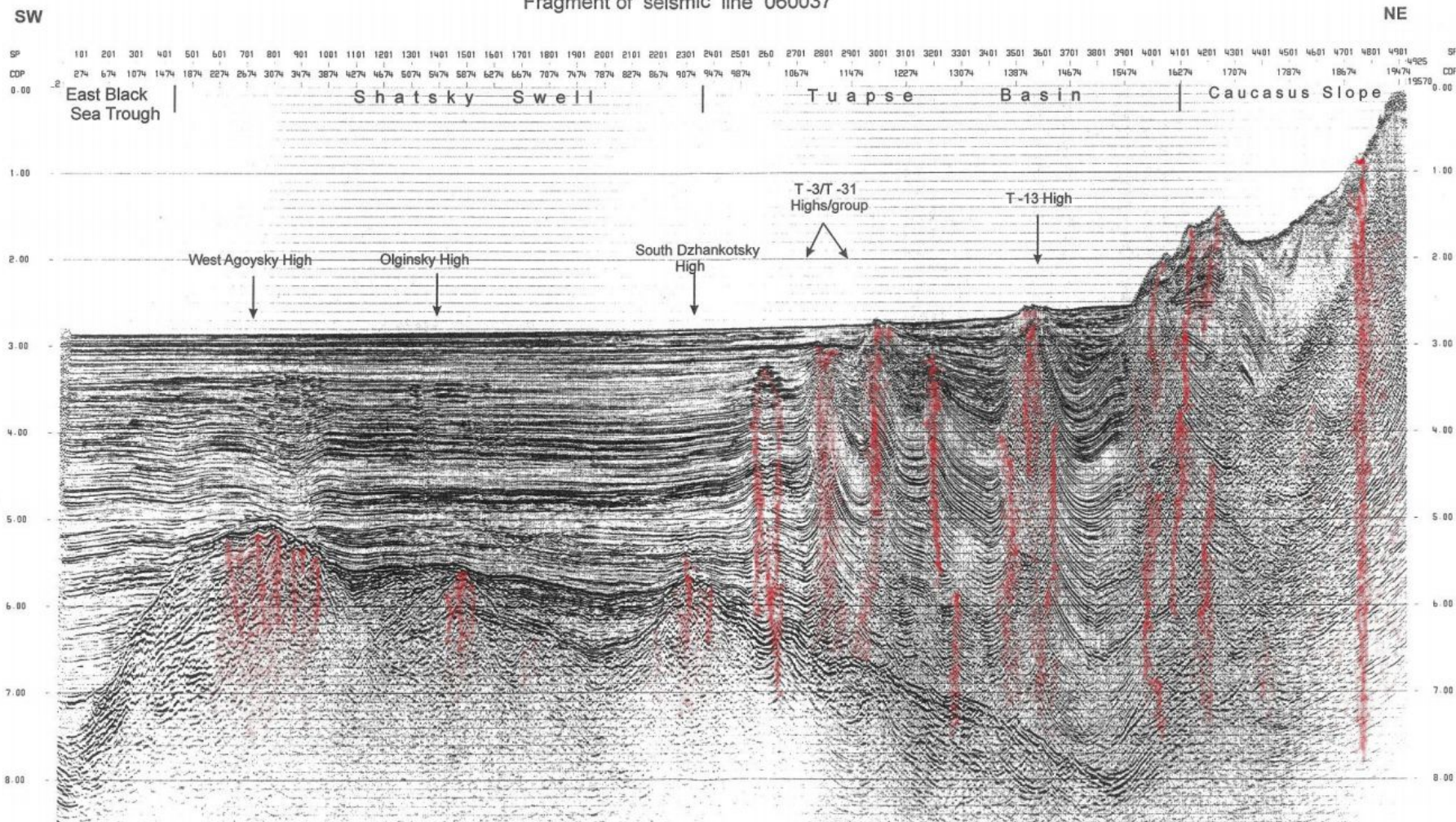


Сейсморазрез на Черном море в зоне сочленения с Кавказом с выделенными геосолитонными трубками.

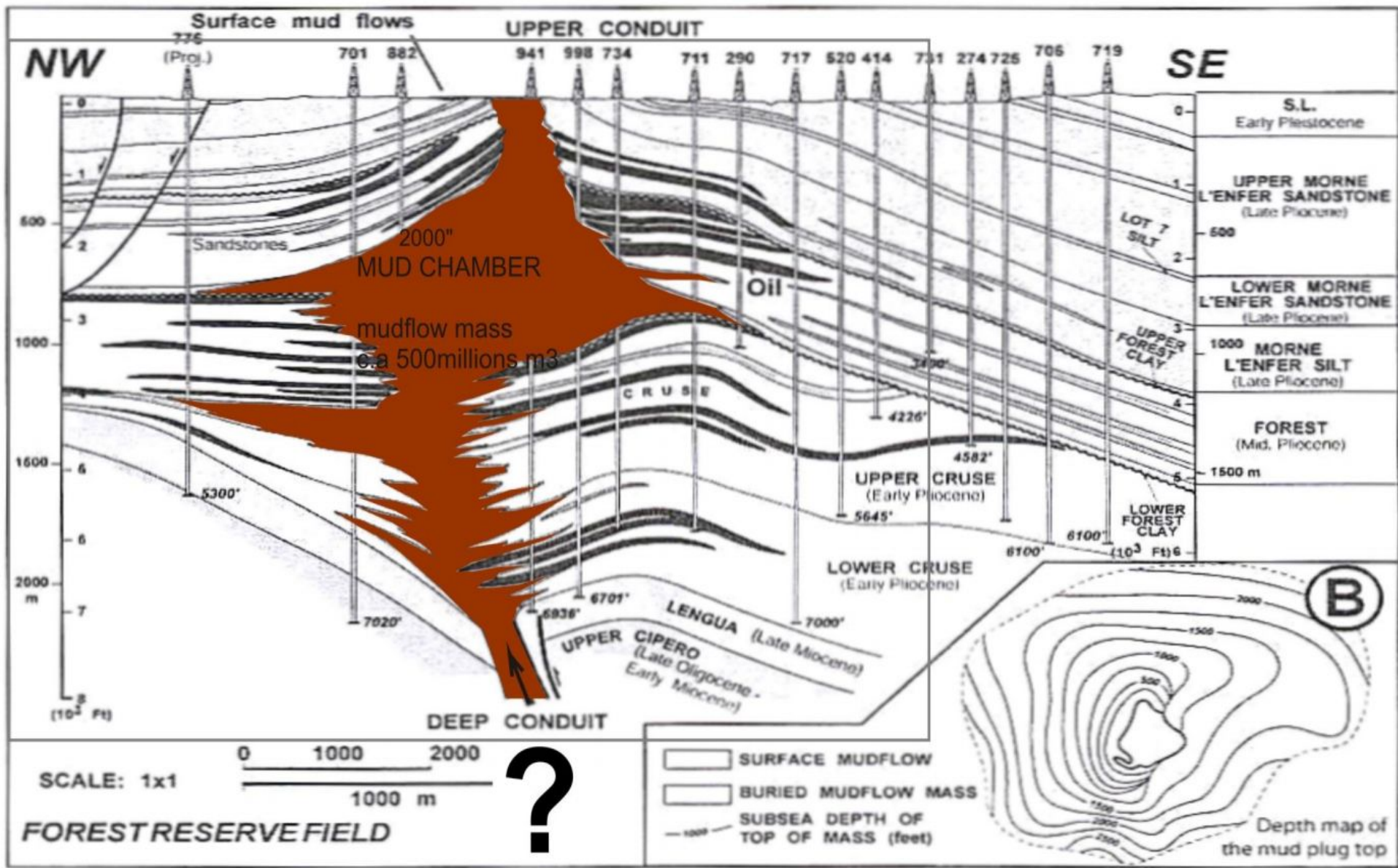
Supplement 20

Shatsky Swell and Tuapse Basin

Fragment of seismic line 060037



Геологический разрез в районе высокопродуктивной ГТ на одном из месторождений в Азербайджане.



Сейсморазрез с запада на восток в Бакинском районе Каспийского моря. Чрезвычайно высокая геосолитонная активность в этом районе Каспийского моря явилась главной причиной образования здесь множества богатых месторождений нефти

